

УДК 538.4
533.93ИССЛЕДОВАНИЕ ЭЛЕКТРИЧЕСКОГО РАЗРЯДА В АЗОТЕ
ПРИ ВЫСОКИХ НАПРЯЖЕНИЯХ ЭЛЕКТРИЧЕСКОГО ПОЛЯ*Ю. И. Бычков, В. В. Кремнев, В. Ф. Тарасенко*

(Томск)

Показана возможность теоретических расчетов энергии, вводимой в газ, на примере электрического разряда в азоте при высоких значениях E/p .

Механизм развития разряда и динамика протекающих процессов в сильно перенапряженных газовых промежутках изучены недостаточно. В [1, 2] проведены теоретические исследования и приведены экспериментальные данные, показывающие, что при условии, когда приложенное напряжение в несколько раз превышает статическое пробивное, механизм разряда качественно меняется и существенно отличается от известных таунсендовского и стримерного. В области значений $E/p = 100 \div 500 \text{ в/см} \cdot \text{мм}$ рт. ст. (E — напряженность электрического поля, p — давление газа) можно выделить две характерные стадии [3] — фазу нестационарного разряда, в которой происходит быстрое нарастание тока, и, соответственно, спад напряжения за время $\sim 10^{-9}$ сек. Рост тока в этой стадии в основном обусловлен лавинным размножением электронов. Во второй фазе, квазистационарного тления, по ряду признаков разряд соответствует тлеющему. При этом рост тока существенно замедляется. Стадия квазитлеющего разряда продолжается в течение нескольких десятков наносекунд, а затем переходит в искровой канал.

Такой тип разряда находит важные практические применения: в быстро действующих коммутаторах [4], для получения высоковольтных импульсов с малыми фронтами нарастания тока, а также для возбуждения оптических квантовых генераторов, например азотного [5].

Для создания инверсии населенности в азоте между уровнями $C_3\pi_u$ и $B_3\pi_g$ требуется, во-первых, большая скорость нарастания тока, во-вторых, высокая электронная температура $\sim 10^3 \text{ эв}$, т. е. значение E/p в течение периода накачки $\sim 10^{-8}$ сек должно быть достаточно большим $2 \div 3 \cdot 10^2 \text{ в/см} \cdot \text{мм}$ рт. ст.

Квантовый коэффициент полезного действия в азоте на длине волнны 3371 Å достаточно высокий $\sim 16\%$, однако в известных конструкциях практический к. п. д. $0.01 \div 0.1\%$. Основной причиной является неэффективная передача энергии от накопителя.

В данной работе показана возможность теоретических расчетов энергии, вводимой в газ, на примере электрического разряда в азоте при высоких значениях E/p .

Подобные теоретические расчеты для известных конструкций оптических квантовых генераторов на азоте не проводились в связи с неопределенностью физических процессов. На основании результатов исследований [1] примем, что разряд протекает согласно механизму лавинного роста тока. Предполагаем, что в сильноточной стадии разряда электрическое поле распределено равномерно вдоль промежутка, за исключением прикатодной области. Искажение поля объемным разрядом в прикатодной области незначительно влияет на энерговклад.

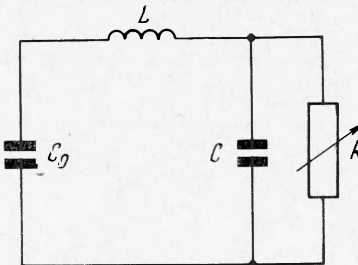
Ток через промежуток определяется согласно [2]

$$(1) \quad i = eN_0vd^{-1} \exp \left(\int_0^t \alpha v dt \right)$$

где e — заряд электрона, N_0 — начальное число электронов, d — межэлектродный зазор, α и v — коэффициент ударной ионизации и дрейфовая скорость электронов, определяемые из [6, 7]

$$\alpha = Ap \exp(-Bp/E), \quad v = k_0 E/p$$

$k_0 \approx 3 \cdot 10^5 \text{ см}^2 \cdot \text{мм}$ рт. ст./в.сек, $A = 10 \text{ см} \cdot \text{мм}$ рт. ст., $B = 300 \text{ в/см} \cdot \text{мм}$ рт. ст. для диапазона $30 < E/p < 300 \text{ в/см} \cdot \text{мм}$ рт. ст. для азота, p — давление газа в мм рт. ст.,



Фиг. 1

t — время. Расчеты приводим для схемы (фиг. 1), в которой емкость C_0 , заряженная до напряжения U_0 , через индуктивность L разряжается на газовый промежуток R . Из-за малой величины влиянием междуэлектродной емкости C можно пренебречь.

Система уравнений, используемая в расчете

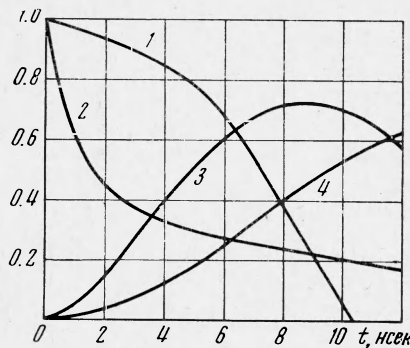
$$(2) \quad z - \frac{dy}{d\tau} = x, \quad y = Nx \exp \left[\int_0^{\tau} \Pi \exp (-M/x) x d\tau \right]$$

$$z = 1 - \int_0^{\tau} y d\tau, \quad w = 2 \int_0^{\tau} xy d\tau = \int_0^{\tau} U idt / 1/2 C_0 U_0^2$$

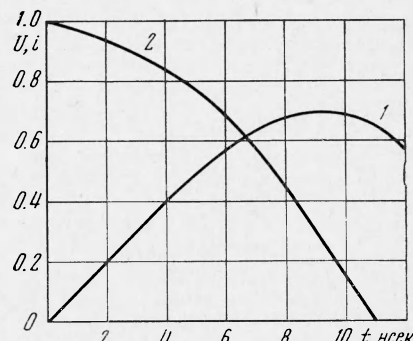
$$z = \frac{U_*}{U_0}, \quad y = i / \sqrt{\frac{U_0}{V L}}, \quad x = \frac{U}{U_0}, \quad \tau = \frac{t}{\sqrt{V L C_0}}, \quad M = \frac{Bpd}{U_0}$$

$$\Pi = \frac{Ak_0 U_0}{d} \sqrt{\frac{L}{C_0}}, \quad N = \frac{eN_0 k_0}{pd^2} \sqrt{\frac{L}{C}}$$

где U , U_0 , U_* — напряжение на промежутке и напряжение на емкости, зарядное и текущее, w — вкладываемая энергия. В качестве начальных условий использовалась такая максимальная величина N_0 для электронов, которая еще не влияет на изменение напряжения на элементах контура [2]. При этом полагаем, что напряжение на емкости не успевает снизиться и равно начальному U_0 , а напряжение на промежутке определяется системой (2) при заданном начальном напряжении на емкости.



Фиг. 2



Фиг. 3

Численное решение системы (2) с использованием ее разностной модификации выполнено на ЭВМ-222 шаг за шагом по стандартной программе нахождения корней трансцендентных уравнений. В процессе спада напряжения на промежутке требовался выбор очень малых величин $\Delta\tau = \tau_{i+1} - \tau_i$ порядка $10^{-3} \div 10^{-5}$, которые варьировались для получения устойчивого решения. Для конкретных значений $C_0 = 6300 \text{ пкФ}$, $E_0/p = 300 \text{ в/см} \cdot \text{мм}$ рт. ст., $L = 3.3 \text{ нГн}$, $p = 30 \text{ мм}$ рт. ст. на фиг. 2 представлены зависимости изменения во времени напряжения на емкости E_*/E_0 (1), напряжения на газовом зазоре E/E_0 (2), тока i/i_0 (3) и вкладываемой энергии w (4).

За счет лавинного размножения происходит быстрый спад напряжения на газовом промежутке и при сохранении E/p до $90 \text{ в/см} \cdot \text{мм}$ рт. ст., вкладывается только 17% запасаемой энергии в емкости C_0 .

Экспериментальная проверка проводилась на установке, схема которой показана на фиг. 1, где емкость $C_0 = 6 \cdot 10^{-9} \text{ ф}$ импульсно заряжалась до напряжения $U_0 = 20 \div 30 \text{ кв}$ за время запаздывания пробоя исследуемого промежутка. Давление азота изменялось от 10 до 100 мм рт. ст. Индуктивность контура $L = 3.3 \text{ нГн}$, сечение разрядной области 9 см^2 , межэлектродный зазор 2.4 см . Разряд в промежутке инициировался подсветкой за счет разряда по поверхности опорного изолатора основного промежутка. На фиг. 3 в относительных единицах представлены осциллограммы тока (кривая 1) и напряжения (кривая 2) при $E_0/p = 300 \text{ в/см} \cdot \text{мм}$ рт. ст. и $p = 30 \text{ мм}$ рт. ст. Напряжение регистрировалось емкостным делителем.

Сравнение эксперимента и теории (фиг. 2 и 3) дает хорошее согласие осциллограмм роста тока через газовый промежуток и изменения напряжения на емкости C_0 , что оправдывает применение вышеописанной модели расчета для данных условий. Зарегистрировать процесс спада напряжения на плазме газового разряда при разряде

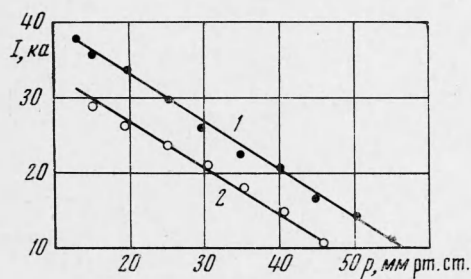
емкости в контурах с малым волновым сопротивлением ρ (в данном случае $\rho = 0.74 \text{ ом}$) затруднительно, так как индуктивность контура оказывается соизмеримой с индуктивностью подводов и индуктивностью разрядной плазмы.

При увеличении давления и постоянном напряжении U_0 наблюдается линейное уменьшение амплитуды максимального тока через газовый промежуток (фиг. 4: 1 — $U_0 = 31 \text{ кВ}$, 2 — $U_0 = 25 \text{ кВ}$).

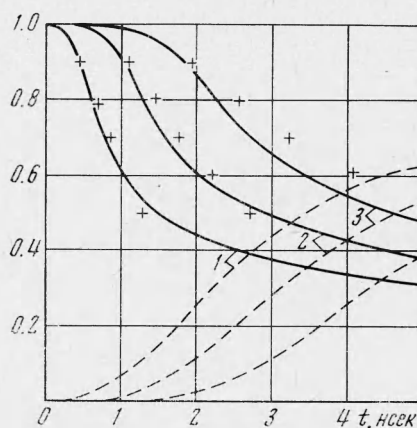
Для анализа влияния различных факторов на спад напряжения на газовом промежутке было найдено приближенное решение интеграла в экспоненте в (2) методом трапеции при x , близком к единице. Принимаем $0.6 < x < 1$. Пренебрегая спадом напряжения на емкости и производной dx/dt , получим

$$(3) \quad \tau = 2 \{ \Pi [\exp(-M) + x \exp(-M/x)] \}^{-1} \ln (1 - x) [Nx^2 \exp(-M/x)]^{-1}$$

Зависимости $\tau(x)$ представлены на фиг. 5 крестиками вместе с численным решением для $E_0/p = 200 \text{ в/см} \cdot \text{мм}$ рт. ст., $L = 1.1 \text{ нГн}$, $p = 30, 50, 100 \text{ мм}$ рт. ст. соответственно для 1, 2, 3. Сплошные линии — напряжение на газовом промежутке E/E_0 , пунктирные — ток i/i_0 . Как следует из фиг. 5, приближенный метод в опреде-



Фиг. 4



Фиг. 5

лении $\Delta x = 1 - x$ отличается от точного примерно на $20 \div 30\%$ и поэтому можно использовать (3) для выяснения влияния различных факторов на время коммутации в области больших E/p . Так, из (3) следует, что с уменьшением N , т. е. при уменьшении L и соответствующем увеличении C_0 (чтобы сохранилось постоянным произведение LC_0 , входящее в другой параметр) увеличивается время спада напряжения. Это связано с тем, что меньшая индуктивность позволяет пропустить больший ток без существенного уменьшения напряжения на промежутке. Напротив, с ростом Π , т. е. с увеличением давления при сохранении неизменной величины E/p , время коммутации уменьшается, так как член под логарифмом возрастает медленнее, чем убывает сомножитель перед логарифмом.

С ростом E_0/p при фиксированном p возрастает параметр Π и убывает M , т. е. убывает логарифмический член, сомножитель перед ним и уменьшается время коммутации.

Следует заметить, что (3) получено в пренебрежении разрядом емкости во время коммутации. Следовательно, выводы, полученные на основании соотношения (3) справедливы только при $t \ll \sqrt{\frac{1}{2} \pi L C_0}$.

Рассмотренный метод расчета может быть использован для выбора оптимальных параметров газоразрядного контура оптических квантовых генераторов, в которых возбуждение происходит электронным ударом при высоких значениях электронной температуры.

Поступила 27 XI 1973

ЛИТЕРАТУРА

1. Месяц Г. А., Бычков Ю. И., Кремнев В. В. Импульсный наносекундный электрический разряд в газе. Усп. физ. н., 1972, т. 107, вып. 2, стр. 201—228.
2. Месяц Г. А., Кремнев В. В., Коршунов Г. С., Янкелевич Ю. Б. Ток и напряжение искры при импульсном пробое газового промежутка в наносекундном диапазоне времени. Ж. тех. физ., 1969, т. 39, вып. 1, стр. 75—81.

3. Бычков Ю. И., Королев Ю. Д., Орловский В. М. Диффузная и канальная стадии при пробое перенапряженных газовых промежутков. Изв. вузов, Физика, 1971, № 9, стр. 45—49.
4. Ковальчук Б. М., Кремнин В. В., Месяц Г. А. Лавинный разряд в газе и генерирование нано- и субнаносекундных импульсов большого тока. Докл. АН СССР, 1970, т. 191, № 1.
5. Shipman J. D. Traveling wave excitation of high power gas lasers. Appl. Phys. Letters, 1967, vol. 10, No. 1.
6. Грановский В. Л. Электрический ток в газе. М., «Наука», 1971.
7. Raether H. Electron avalanches and breakdown in gases. London, Butterworth, 1964.

УДК 533.95.7/8

ОБ УСТОЙЧИВОСТИ КОЛЕБАНИЙ КОНЕЧНОЙ АМПЛИТУДЫ В ЭЛЕКТРОННО-ИОННОМ КОЛЬЦЕ

Г. П. Берман

(Красноярск)

Рассматриваются поперечные колебания конечной амплитуды в электронно-ионном кольце. Вдали от области линейных резонансов получено уравнение для медленно меняющихся амплитуд и найдены условия возбуждения неустойчивости типа «отрицательного давления». Вблизи нижней границы области линейной неустойчивости найдены условия, при которых нелинейность срывает устойчивость колебаний при конечных амплитудах.

1. В [1] исследовался вопрос об устойчивости электронно-ионного кольца относительно поперечных колебаний (неустойчивость типа «эмейки» в приближении линейности поляризационной силы, возникающей при относительном смещении центров тяжести пучков). Оказывается, что существует область волновых чисел ($k_- < k < k_+$), для которых имеет место неустойчивость. Появление поперечной неустойчивости связано с наличием резонансов на частотах электронно-ионных колебаний (вблизи k_+) и на доплеровских частотах колебаний электронов фокусирующем магнитном поле (вблизи k_-). Нелинейная стадия развития колебаний показывает, что вблизи верхней границы области неустойчивости (k_+) нелинейная поляризационная сила стабилизирует неустойчивость на амплитудах, малых по сравнению с поперечным радиусом пучка [2]. В случае отсутствия внешней фокусировки электронов в [2] получено точное решение в виде нелинейной стационарной волны, движущейся вдоль пучка. При наличии нелинейности в электронно-ионном кольце возможны колебания с конечными амплитудами как вблизи области линейной неустойчивости, так и вдали от нее.

В работе получены уравнения, которые описывают колебания такого типа, и исследуется вопрос об их устойчивости.

В качестве модели выбраны два жестких пучка электронов и ионов, плотность частиц в поперечном сечении которых распределена по гауссовскому закону

$$(1.1) \quad n_{e,i}(r_1) = n_{e,i}^{(0)} \exp(-r_\perp^2/a_0^2)$$

где a_0 — постоянная, характеризующая радиус пучков, r_\perp — модуль радиус-вектора частицы в плоскости поперечного сечения пучка. Измеряя все пространственные и временные величины в единицах a_0 и ω_0 соответственно ($\omega_0^2 = \pi e^2 n_e^{(0)} / M_i$ — частота колебаний ионов в поле электронов), запишем систему уравнений для поперечных смещений центров тяжести пучков [1, 2]

$$(1.2) \quad \begin{aligned} d^2x/dt^2 + \lambda^2 x &= -\delta(x-y)[1 - 1/4(y-x)^2], \quad d^2y/dt^2 = (x-y)[1 - \\ &- 1/4(y-x)^2] \\ d/dt &\equiv \partial/\partial t + v\partial/\partial z, \quad \delta = n_i^{(0)} M_i / \gamma n_e^{(0)} m_e, \quad \gamma = (1 - v^2/c^2)^{-1/2} \end{aligned}$$

Здесь $x(y)$ — смещение электронов (ионов), λ — частота колебаний электронов во внешнем фокусирующем поле, v — скорость электронов.

Поляризационная сила в (1.2), возникающая при поперечном смещении центров тяжести пучков, вычислена для распределения (1.1) в предположении малой нелинейности ($x, y \ll 1$).